

## A Comparison Between Estimating The Parameters of The Gaussian Process Regression Model Using The Maximum Likelihood and The Restricted Maximum Likelihood Methods

A. K. Ilyas \*(1) , Y. H. Al-Taweeel (2)

(1,2) Department of Mathematics, College of Education for Pure Science, University of Mosul, Mosul, Iraq

### Article information

#### Article history:

Received: June 21, 2024  
Revised: August 25, 2024  
Accepted: September 06, 2024  
Available online: December 01, 2024

#### Keywords:

Computer Model  
Gaussian Process  
Maximum likelihood estimation (MLE)  
Restricted Maximum Likelihood estimation (RMLE)  
Borehole Function

#### Correspondence:

Amena Khalid Ilyas  
[amen.a.22esp4@2student.uomosul.edu.iq](mailto:amen.a.22esp4@2student.uomosul.edu.iq)

### Abstract

Gaussian process regression models are used as statistical representations of computational models, due to their flexibility in capturing the shape of smooth functions. The Gaussian process regression model has a number of parameters, the estimation of which is an essential step towards building the model. The parameters considered are the regression coefficients  $\beta$ , the scaling parameter  $\sigma^2$  and the correlation lengths  $\psi$ . Estimating these parameters is the problem we address in this paper. The main contribution of this work is a comparison between estimating the parameters of the Gauss process regression model using the maximum likelihood method and the restricted maximum likelihood method. This comparison was made based on some validation measures. The Gauss process regression model, whose parameters were estimated using the two methods above, was applied to a real eight-dimensional example represented by the borehole function model, and all mathematical and graphical operations were carried out using the R program.

### 1. المقدمة

تم دراسة عدد متزايد من الأنظمة الطبيعية أو التي من صنع الإنسان بمساعدة النماذج الحاسوبية، في محاولة لتعزيز فهمنا للعمليات الأساسية وقدرتنا على التنبؤ بسلوكها. النماذج الحاسوبية الحديثة يمكن ان تكون معقدة بشكل كبير جداً، لدرجة أن تطبيقاً واحداً قد يتطلب قدرًا كبيرًا من الوقت لإكماله. علاوة على ذلك، قد يتطلب تنفيذ مهام مثل معايرة الأنماذج أو تحليل حساسية المدخلات الآلاف من عمليات التنفيذ، والتي قد تكون غير عملية بالنسبة لبعض فئات النماذج أو ببساطة غير معقولة [1].

أنموذج انحدار العملية الكاوسي Gaussian Process regression model هو تقنية تساعد في معالجة بعض المشكلات المذكورة أعلاه حيث يعتبر كديل فعال حاسوبياً لأنموذج الحاسوبي الأصلي. تم تقديم نماذج انحدار العملية الكاوسي لأول مرة بواسطة [2]، وهي تعتمد على العمليات الكاوسي Gaussian Processes (GP). تستخدم هذه الفئة من نماذج انحدار العملية الكاوسي GP للتوزيع أولى لمخرجات الأنماذج الحاسوبي، أو بمعنى آخر، تفترض أن مخرجات الأنماذج الحاسوبي عبارة عن عينة عشوائية ماخوذة من توزيع كاوسي مشترك. يسمح أنموذج انحدار العملية الكاوسي بالتنبؤ بمخرجات الأنماذج الحاسوبي عند المدخلات غير المشاهدة، ويوفر في الوقت ذاته فترات ثقة لهذا التنبؤ. بالإضافة إلى ذلك، أدت الأبحاث ذات الصلة إلى ظهور طرق توادي إلى معايرة الأنماذج الاحتمالية [3] أو تحليل الحساسية [4] بطريقة فعالة للغاية.

تحتوي العمليات الكاوسي على عدد من المعلمات غير المعلومة بشكل عام، ولذلك، فهي إما بحاجة إلى التقدير، أو إيجاد توزيعاتها الهاشمية حسب المنظور البيزي. يوفر التوزيع الهاشمي ميزة تحديد مقدار عدم اليقين حول القيمة الحقيقية للمعلمات، وأيضًا يجعل تقديرات المعلمات أكثر وضوحاً واستقرارًا [5]. ومع ذلك، قد لا يكون إيجاد التوزيع الهاشمي دائمًا ممكناً أو عملياً واحداً أو أكثر من معلمات الأنماذج.

في هذه الحالة، من الشائع إيجاد أفضل تقدير للمعلمة واعتباره هو القيمة الحقيقية، وهي طريقة تُعرف باسم "طريقة الماء" plug-in Method [3].

تحتوي العملية الكاوسيّة التي نأخذها في الاعتبار في هذا البحث على ثلاثة انواع من المعلمات وهي: معاملات الانحدار  $\beta$ ، ومعلمة القياس  $\sigma^2$  ومتجه المعلمات  $\psi$  التي تتحكم في نوعية المخرجات، والمعروفة باسم معلمات الارتباط. في ظل افتراض دالة الوسط الخطية، من الممكن إيجاد التوزيع الهاشي بطريقة تحليلية لمعاملات الانحدار ومعلمة القياس. ومع ذلك، فإن إيجاد التوزيع الهاشي لمعلمات الارتباط غير ممكن تحليلياً، حتى بالنسبة لأبسط أشكال دالة الارتباط. يمكن بناء نماذج انحدار عملية كاووس باستخدام طريقتين مختلفتين. ونعني بناء نموذج انحدار عملية كاووس تقدير معلماته. الطريقة الأولى لتقدير هذه المعلمات هي طريقة الإمكان الأعظم (MLE). الطريقة الثانية هي طريقة الإمكان الأعظم المقيد (RMLE). قد تؤثر مجموعة معلمات نموذج انحدار عملية كاووس على أدائها خاصة مع وجود عدد صغير من نقاط التصميم. وهذا يعني أنه إذا لم يتم تقدير المعلمات بشكل جيد، فقد لا نحصل على تقديرات تقريرية جيدة لمخرجات النموذج الحاسوبي أو قد لا يتم تحديد الفروق بشكل جيد.

ولذلك فإن الهدف من بحثنا هو مقارنة وتقييم الطريقتين لبناء نماذج انحدار عملية كاووس. سيتم ذلك باستخدام بعض المقاييس التي تعتمد على الاختلافات بين النتائج والقيم الحقيقية للنموذج الحاسوبي. ويتم تنظيم هذل البحث على النحو التالي: يعرض القسم 2 تفاصيل نموذج انحدار العملية الكاوسيّة كبدائل لأنماذج الحاسوبي ويناقش القسم 3 الأساليب المختلفة لمعاملة معلماته. وتم عرض في القسم 4 التصميم المستخدم في توليد النقاط. كما يوضح القسم 5 و 6 نتائج تطبيق طرق تقدير معلمات أنماذج انحدار العملية الكاوسيّة على أنماذج دالة البير.

## 2. نموذج انحدار العملية الكاوسيّة لأنماذج الحاسوبي

لتكن  $(\mathbf{x}, f)$  تشير إلى مخرجات الأنماذج الحاسوبي لمتجه الإدخال  $\mathbf{x}$ . نفترض أن الأنماذج الحاسوبي يحتوي على مدخلات ذات الأبعاد  $p$  اي ان  $\mathbf{x} = [x_1, x_2, \dots, x_p] \in \mathbb{R}^p$  و مخرجات ذات بعد واحد  $f(\mathbf{x}) \in \mathbb{R}$  scalar المتمثلة بـ  $f$ . الفكرة الرئيسية لبناء نماذج انحدار العملية الكاوسيّة هي استخدام التوزيع الطبيعي المشترك للتوزيع أولي لمخرجات الأنماذج الحاسوبي [6]. نفترض أن مخرجات الأنماذج الحاسوبي هي:

$$p(f(\mathbf{x})|\boldsymbol{\beta}, \sigma^2, \psi) \sim \mathcal{N}(h(\mathbf{x})^T \boldsymbol{\beta}, \sigma^2 k(\mathbf{x}, \mathbf{x})). \quad (1)$$

ان دالة الوسط لهذا الأنماذج تعطى بواسطة  $h(\mathbf{x})$ ، إذ ان  $h(\mathbf{x})$  هو متوجه  $(1 \times q)$  للدواال المحددة مسبقاً  $\mathbf{x}$ ، والمعروفة باسم دوال الانحدار، و  $\boldsymbol{\beta}$  هو متوجه  $(q \times 1)$  لمعاملات الانحدار. يسمى هذا الشكل من دالة الوسط بالخطي، ويمكن أن يكون مننا إلى حد ما بسبب الخيارات التي يمكن إجراؤها لدواال الانحدار؛ في الوقت نفسه، فإن خططيته فيما يتعلق بمعاملات الانحدار يبسط التحليل اللاحق.

يتم إعطاء التغایر لأنماذج بواسطة  $k(\mathbf{x}, \mathbf{x})$  إذ ان  $\sigma^2 k(\mathbf{x}, \mathbf{x})$  هو التباين العام. إن الارتباط بين مخرجات الأنماذج الحاسوبي يحسب باستخدام دالة الارتباط  $k(\mathbf{x}, \mathbf{x})$  [7]. عائلة دوال الارتباط التي سنأخذها في الاعتبار مستقرة وتعتمد قيمتها على النسب  $i, j \in [1 \dots p]$ . ان المعلمات الموجبة  $\psi$   $\{k_{ij}\}_{i,j=1}^{1 \dots p}$  تسمى بمعلمات الارتباط وتتحكم في نوعية المخرجات. دوال الارتباط التي تتبعها إلى الغة المذكورة أعلاه هي الدوال الأساسية، والتربيعية النسبية و دالة ماتيرن Matern [8].

بعد تحديد العملية الكاوسيّة الأولية لأنماذج الحاسوبي، فإن الخطوة التالية هي الحصول على مخرجات الأنماذج الحاسوبي لعدد من المدخلات المختلفة. تسمى هذه المدخلات نقاط التصميم Design Points ونشر إليها بشكل جماعي بواسطة  $\mathbf{x}_1, \mathbf{x}_2, \dots, \mathbf{x}_n = D$ . يتم الإشارة إلى مخرجات الأنماذج الحاسوبي في هذه النقاط بواسطة متوجه  $y = [y_1, y_2, \dots, y_n]$  ذو بعد  $(1 \times n)$ . باستخدام نظرية بيز Bayes' Theorem [9] ، والخواص الفياسية للتوزيعات الكاوسيّة متعددة المتغيرات فإن توزيع مخرجات الأنماذج الحاسوبي عند نقطة إدخال جديدة  $\mathbf{x}$  مشروطة على قيم الأنماذج الحاسوبي المنفذة سابقاً وعلى المعلمات  $(\boldsymbol{\beta}, \sigma^2, \psi)$  هو:

$$p(f(\mathbf{x})|y, \boldsymbol{\beta}, \sigma^2, \psi) = \mathcal{N}(m_0(\mathbf{x}), \sigma^2 u_0(\mathbf{x}, \mathbf{x})), \quad (2)$$

حيث

$$m_0(\mathbf{x}) = h(\mathbf{x})^T \boldsymbol{\beta} + k(\mathbf{x}, D) A^{-1} (y - H \boldsymbol{\beta}),$$

$$u_0(\mathbf{x}, \mathbf{x}) = k(\mathbf{x}, \mathbf{x}) - k(\mathbf{x}, D) A^{-1} k(D, \mathbf{x}),$$

في المعادلات المذكورة أعلاه، تشير  $D$  إلى أن الدوال المعنية تطبق على جميع عناصر  $D$ ، أي

$$k(D, \mathbf{x}) \equiv k(\mathbf{x}, D)^T \text{ و } k(\mathbf{x}, D) \equiv [k(\mathbf{x}, \mathbf{x}_1), k(\mathbf{x}, \mathbf{x}_2), \dots, k(\mathbf{x}, \mathbf{x}_n)],$$

ان دالة الارتباط بين نقاط التصميم والتوقع تعطى كالتالي:

$$\mathbf{k}(\mathbf{x}) = [k(\mathbf{x}, \mathbf{x}_1), k(\mathbf{x}, \mathbf{x}_2), \dots, k(\mathbf{x}, \mathbf{x}_n)]^T,$$

و

$$H \equiv h(D)^T = [h(\mathbf{x}_1), h(\mathbf{x}_2), \dots, h(\mathbf{x}_n)]^T,$$

نعرف أيضاً مصفوفة الارتباط لنقط التصميم  $D$  كما يلي:

$$[10] A \equiv k(D, D) = \begin{pmatrix} 1 & k(\mathbf{x}_1, \mathbf{x}_2) \cdots & k(\mathbf{x}_1, \mathbf{x}_n) \\ k(\mathbf{x}_2, \mathbf{x}_1) & 1 \cdots & k(\mathbf{x}_2, \mathbf{x}_n) \\ \vdots & \vdots & \vdots \\ k(\mathbf{x}_n, \mathbf{x}_1) & \cdots & 1 \end{pmatrix}$$

## 3. معاملة المعلمات

تناقش الان طرقاً مختلفة لتقدير المعلمات  $\beta$  و  $\sigma^2$  و  $\psi$  وكذلك إيجاد معادلات التنبؤ بمخرجات أنموذج انحدار عمليه كاووس عند أية نقطة إدخال عشوائية  $x$ .

**3.1 طريقة الإمكان الأعظم** [13], [12], [11].  
التوزيع التنبئي الوارد في معادلة 2 يكون مشروط على المعلمات الثلاثة غير المعلومة، وأبسط طريقة لمعاملة هذه المعلمات هي تعظيم دالة الإمكان  $p(y|\beta, \sigma^2, \psi)$  بالنسبة لـ  $\beta$  ،  $\sigma^2$  و  $\psi$ ، والتي تعطى من خلال المعادلة التالية:

$$p(y|\beta, \sigma^2, \psi) = \frac{|A|^{-1/2}}{(2\pi\sigma^2)^{n/2}} \exp\left\{-\frac{1}{2\sigma^2}(y - H\beta)^T A^{-1} (y - H\beta)\right\}, \quad (3)$$

و يتم استخدام تلك التقديرات في التوزيع التنبئي لمعادلة 2 على سبيل المثال، يمكن إيجاد قيم  $\beta$  و  $\sigma^2$  التي تعظم التعبير أعلاه لقيمة معينة من  $\psi$  من خلال المعادلات التالية:

$$\hat{\beta}_{ML} = (H^T A^{-1} H)^{-1} H^T A^{-1} y, \quad (4)$$

$$\hat{\sigma}_{ML}^2 = \frac{(y - H\hat{\beta}_{ML})^T A^{-1} (y - H\hat{\beta}_{ML})}{n}, \quad (5)$$

و يمكن إيجاد تقدير  $\psi$  من خلال تعظيم دالة الإمكان بعد إدخال مقدرات ML لـ  $\beta$  و  $\sigma^2$  كالتالي:

$$\hat{\psi}_{ML} = \arg \max_{\psi} [p(y|\beta_{ML}, \sigma_{ML}^2, \psi)]. \quad (6)$$

سيكون توزيع مخرجات  $(x)f$  في ضوء المشاهدات والمعلمات كالتالي:  
حيث

$$p(f(x)|\hat{\beta}_{ML}, \hat{\sigma}_{ML}^2, \hat{\psi}_{ML}, y) = \mathcal{N}(m_{ML}(x), \hat{\sigma}_{ML}^2 u_{ML}(x, x)), \quad (7)$$

$$m_{ML}(x) = h(x)^T \hat{\beta}_{ML} + k(x)^T A^{-1} (y - H\hat{\beta}_{ML}),$$

$$u_{ML}(x, x) = k(x, x) - k(x)^T A^{-1} k(x).$$

لاحظ أن  $A$  و  $k(x, x)$  و  $k(x)$  هي دوال لـ  $\hat{\psi}_{ML}$

**3.2 طريقة الإمكان الأعظم المقيد** (Restricted Maximum Likelihood)  
وفقاً [14] ، يمكن الحصول على دالة الإمكان الأعظم المقيدة (REML) من دالة الإمكان الأعظم، عن طريق تكامل  $\beta$  باستخدام التوزيع المنتظم الاولى أي  $p(\beta) \propto \text{constant}$ . التعبير الناتج هو:

$$p(y|\sigma^2, \psi) \propto \frac{|A|^{-1/2} |H' A^{-1} H|^{-1/2}}{(2\pi\sigma^2)^{\frac{n-q}{2}}} \exp\left\{-\frac{1}{2\sigma^2}(y - H\hat{\beta})^T A^{-1} (y - H\hat{\beta})\right\}, \quad (8)$$

قيمة  $\sigma^2$  التي تعظم العلاقة أعلاه هي

$$\hat{\sigma}_{RL}^2 = \frac{(y - H\hat{\beta})^T A^{-1} (y - H\hat{\beta})}{n - q}, \quad (9)$$

ثم يعطى تقدير  $\psi$  بالعلاقة:

$$\hat{\psi}_{RL} = \arg \max_{\psi} [p(y|\hat{\sigma}_{RL}^2, \psi)], \quad (10)$$

في ما سبق نعرف أيضاً

$$\hat{\beta} = (H^T A^{-1} H)^{-1} H^T A^{-1} y. \quad (11)$$

لا يمكن اعتبار  $\hat{\beta}$  تقديراً لـ  $\beta$ ، لأنه تم تكامل  $\beta$ . بإمكاننا استخدام أي رمز للعلاقة أعلاه، ولكن لأنها مطبقة لـ  $\hat{\beta}_{ML}$  ندعوها  $\hat{\beta}$  (ولكن ليس  $\hat{\beta}_{RL}$ ). وبالتالي سيكون توزيع مخرجات  $(x)f$  مشروطة على المشاهدات والمعلمات كالتالي:

$$p(f(x)|y, \hat{\sigma}_{RL}^2, \hat{\delta}_{RL}) = \mathcal{N}(m_{RL}(x), \hat{\sigma}_{RL}^2 u_{RL}(x, x)), \quad (12)$$

حيث

$$m_{RL}(\mathbf{x}) = h(\mathbf{x})^T \widehat{\boldsymbol{\beta}} + \mathbf{k}(\mathbf{x})^T A^{-1}(y - H\widehat{\boldsymbol{\beta}}),$$

$$u_{RL}(\mathbf{x}, \mathbf{x}) = k(\mathbf{x}, \mathbf{x}) - \mathbf{k}(\mathbf{x})^T A^{-1} \mathbf{k}(\mathbf{x}) + (h(\mathbf{x})^T - \mathbf{k}(\mathbf{x})^T A^{-1} H)(H^T A^{-1} H)^{-1} (h(\mathbf{x})^T - \mathbf{k}(\mathbf{x})^T A^{-1} H)^T.$$

لاحظ أن  $m_{RL}(\mathbf{x}) = m_{ML}(\mathbf{x})$  والحدود الموجودة في السطر الأول من  $(\mathbf{x}, \mathbf{x}) u_{RL}$  هي نفس المصطلحات الموجودة في  $u_{ML}(\mathbf{x}, \mathbf{x})$  ، باستثناء أن  $\mathbf{k}(\mathbf{x}, \mathbf{x})$  يتم حسابها الآن باستخدام  $\widehat{\boldsymbol{\psi}}$  بدلاً من  $\widehat{\boldsymbol{\psi}}_{ML}$ . بخلاف ذلك، يمكن اعتبار  $(\mathbf{x}, \mathbf{x}) u_{RL}$  هي معززاً بتعبير السطر الأخير في التصميم، نقوم أولاً بحساب الحد الأدنى للمسافة بين نقاط التصميم. بعد ذلك، يعمل  $\text{Maximin LHD}$  على تعظيم الحد الأدنى للمسافة بين أية نقطتين من نقاط التصميم بحيث لا تكون أية نقطتين من نقاط التصميم قريبة جداً من بعضها. يتم إعطاء  $\text{Maximin LHD}$  بواسطة

#### 4. توليد نقاط التصميم

في هذا القسم، نقدم تفاصيل التصميم المستخدم في توليد النقاط. في هذه الدراسة، استخدمنا تصميم المكعب الزائد اللاتيني الاقصى (Maximin Latin Hypercube Design) والذي يشير إليه اختصاراً (Maximin LHD). إن  $\text{Maximin LHD}$  هو أحد تصاميم ملء الفراغ ويعتمد على قياس المسافة بين نقاط التصميم، نقوم أولاً بحساب الحد الأدنى للمسافة بين نقاط التصميم. بعد ذلك، يعمل  $\text{Maximin LHD}$  على تعظيم الحد الأدنى للمسافة بين أية نقطتين من نقاط التصميم بحيث لا تكون أية نقطتين من نقاط التصميم قريبة جداً من بعضها. يتم إعطاء  $\text{Maximin LHD}$  بواسطة

$$\mathbf{X} = \max_{\mathbf{x} \in \Omega} \min_{\{x_i, x_j\} \in X} dis(x_i, x_j). \quad (13)$$

لذلك، يضمن  $\text{Maximin LHD}$  أن نقاط التصميم منتشرة بشكل متوازي وتغطي مجال الإدخال بالكامل [15].

#### 5. مثال دالة البئر

يتم التطبيق عملياً لاما نمت دراسته نظرياً في الفرات السابقة من خلالأخذ مثل حقيقي متمثل بدالة البئر ذي ثمان أبعاد، تم استخدام دالة البئر  $Borehole Function$  على نطاق واسع مثلاً على الأنماذج الحاسوبية. أنماذج البئر استخدمه [17], [16] لتمثيل معدل تدفق المياه أسفل البئر. يتم تعريف دالة البئر على النحو الآتي:

$$f(\mathbf{x}) = \frac{2\pi T_u (H_u - H_l)}{\ln\left(\frac{r}{r_w}\right) \left(1 + \frac{2LT_u}{\ln\left(\frac{r}{r_w}\right) r_w^2 K_w} + \frac{T_u}{T_l}\right)}. \quad (14)$$

تحتوي دالة البئر على ثمانية متغيرات إدخال وهي  $(r_w, r, T_u, H_u, T_l, H_l, L, K_w)$ ، متغير الاستجابة ( $\mathbf{x}$ )  $f$  يمثل معدل تدفق المياه في حفرة البئر بالغالون في متر مكعب لكل سنة. متغيرات الإدخال ومجالها هي:

1. نصف قطر البئر ويرمز له  $r_w$  ضمن الفترة [0.05, 0.15] ووحدة قياسه المتر (m).

2. نصف قطر التأثير ويرمز له  $r$  ضمن الفترة [0.5, 100, 50000] ووحدة قياسه المتر (m).

3. أعلى فناية الخزان الجوفي ويرمز له  $T_u$  ضمن الفترة [63070, 115600] ووحدة قياسه متر مربع لكل سنة ( $m^2/year$ ).

4. رأس الخزان الجوفي العلوي ويرمز له  $H_u$  ضمن الفترة [990, 1110] ووحدة قياسه المتر (m).

5. فناية الخزان الجوفي السفلي ويرمز له  $T_l$  ضمن الفترة [1, 63, 116] ووحدة قياسه متر مربع لكل سنة ( $m^2/year$ ).

6. أسفل رأس خزان المياه الجوفية ويرمز له  $H_l$  ضمن الفترة [700, 820] ووحدة قياسه المتر (m).

7. طول البئر ويرمز له  $L$  ضمن الفترة [1120, 1680] ووحدة قياسه المتر (m).

8. التوصيل الهيدروليكي للبئر ويرمز له  $K$  ضمن الفترة [5, 12045, 9855] ووحدة قياسه متر لكل سنة ( $m/year$ ).

الآن، نقوم بمقارنة أداء أنماذج انحدار عملية كاووس دالة البئر والتحقق فيها بدقة باستخدام الطرق المختلفة لتقدير المعلمات، طريقة MLE وطريقة RMLE. تتم هذه المقارنة من خلال بعض مقاييس التحقق من الصحة. استخدمنا مجاميع مختلفة من أحجام نقاط التصميم ( $n = 5p, 7.5p, 10p, 15p, 20p$ )، حيث  $p$  يمثل عدد متغيرات الإدخال. تم ضبط حجم نقاط التحقق على  $3p$ . تم توليد نقاط التصميم والاختبار في البداية بواسطة  $\text{Maximin LHD}$ .

#### 6. مقاييس التتحقق من صحة الأنماذج

في هذا القسم يتم دراسة تأثير عدد نقاط التصميم على دقة تدريب معلمات الأنماذج باستخدام عدد من المقاييس للمقارنة بين أنماذج انحدار عملية كاووس بطريقة MLE وأنماذج انحدار عملية كاووس بطريقة REMLE. من خلالأخذ المثال الحقيقي السابق المتمثل بدالة البئر.

##### 6.1 مسافة ماهalanobis (Mahalanobis Distance)

في هذا القسم نقوم بدراسة تأثير عدد نقاط التصميم على تدريب العمارة باستخدام مسافة الماهلانوبيس. يوفر هذا المقاييس طريقة فعالة للمقارنة بين مخرجات أنماذج انحدار عملية كاووس ومخرجات الأنماذج الحاسوبية، معبراً عنها كقيمة واحدة. ويتم حسابها بواسطة

$$M_{MD} = (y^* - E[f(\mathbf{x}^*)|y])^T (V[f(\mathbf{x}^*)|y])^{-1} (y^* - E[f(\mathbf{x}^*)|y]). \quad (15)$$

إذ إن  $E[f(\mathbf{x}^*)|y]$  تمثل عناصر متوجه الوسط التنبؤي و  $V[f(\mathbf{x}^*)|y]$  تمثل مصفوفة التعليير التنبؤية لأنماذج انحدار عملية كاووس.

$$\text{إن } M_{MD} \text{ لها توزيع F مع درجات حرية } m \text{ و } q \text{ إذ } n = p + 1. \quad [10] \quad (16)$$

$$\frac{(n - q)}{m(n - q - 2)} M_{MD} | y, \psi \sim F_{m, n-q}.$$

إذا كانت قيمة  $M_{MD}$  متطرفة (كبيرة أو صغيرة)، فهذا يدل على وجود تعارض بين الأنماذج الحاسوبي وأنماذج انحدار عملية كاووس. اذا ظهرت مثل هذه المشكلة فمن المهم استكشاف الأخطاء المعيارية الفردية من أجل تحديد سبب المشكلة. تم حساب قيم مسافة مهالانوبيس بحسب المعادلة (15)، لأنماذج انحدار عملية كاووس الذي تم بناؤه على أساس طريقة MLE وRMLE. وتم حساب قيمة مهالانوبيس لقيم المختلفة لنقاط التصميم ونقاط الاختبار. حيث يوضح الجدول (1) قيم مسافة مهالانوبيس لأنماذج انحدار عملية كاووس الذي يعتمد على طريقة MLE ولأنماذج انحدار عملية كاووس الذي يعتمد على طريقة RMLE لقيم مختلفة من نقاط التصميم مع 24 نقطة اختبار.

**جدول (1):** مسافة مهالانوبيس المحسوبة لأنماذج انحدار عملية كاووس لدالة البير حسب طريقة MLE وRMLE لقيم مختلفة من نقاط التصميم مع 24 نقطة اختبار.

Expected Mahalanobis distance	RMLE	MLE	<i>n</i>
24	71.22431	63.59114	40
24	32.42809	31.99704	60
24	24.56113	22.03833	80
24	25.23676	20.05221	120
24	25.06764	23.21811	160

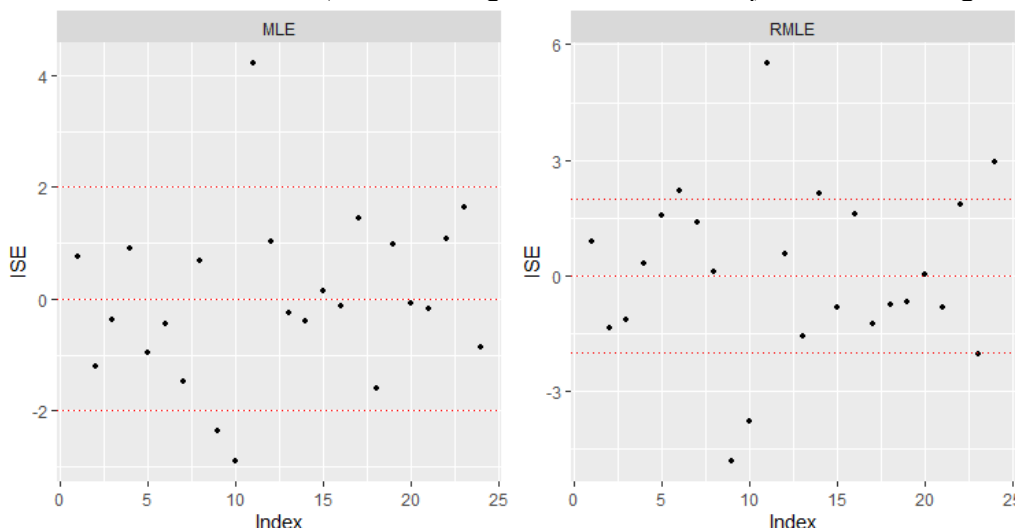
يتبيّن من الجدول (1) انه عندما تكون نقاط التصميم خمسة اضعاف متغيرات الإدخال اي  $n = 40$ ، قيم مهالانوبيس للطريقتين تكون كبيرة وبعيدة جدا عن القيمة المتوقعة لها وهي 24. كخطوة لاحقة من عملية التحقق تمت الزيادة في عدد نقاط التصميم تدريجيا حيث أخذت في البداية  $n = 60$ ، حيث نلاحظ أنه بعد حساب مسافة مهالانوبيس للطريقتين اصبحت تقترب من القيمة المتوقعة لها ويزاده نقاط التصميم الى  $n = 80$  أصبحت قريبة جدا من 24 للطريقتين وعند أخذ  $n = 120$  و  $n = 160$  نلاحظ أن هناك تغييراً طفيفاً في قيم مسافة مهالانوبيس بالنسبة للطريقتين.

## 6.2 الأخطاء المعيارية الفردية (Individual Standardized Errors)

المقياس الثاني هو الأخطاء المعيارية الفردية (ISE) التي تعطى بواسطة:

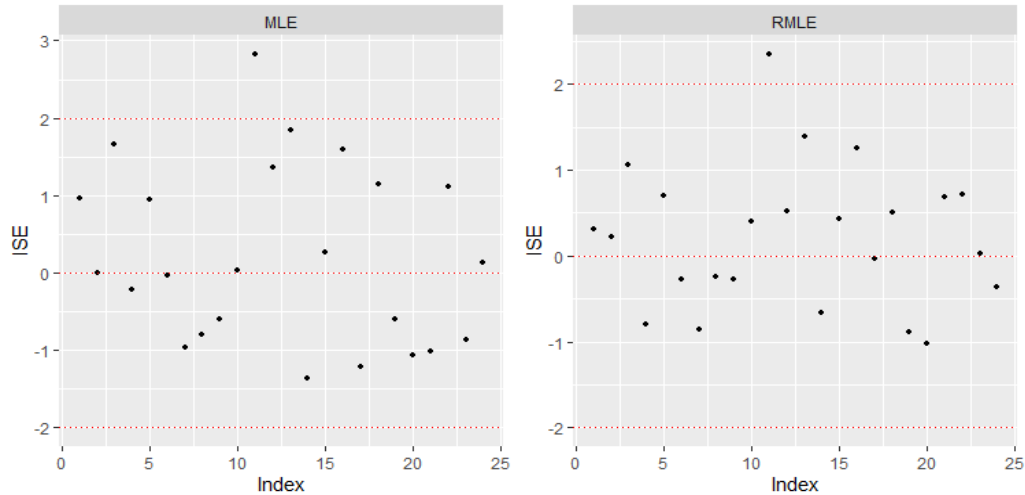
$$ISE = \frac{f(D^*)_i - E[f(\mathbf{x}_i^*)|f(D)]}{\sqrt{V(f(\mathbf{x}_i^*)|f(D))}} \quad (17)$$

يجب أن تتراوح الأخطاء المعيارية الفردية بين -2 و 2 إذا كان أنماذج انحدار عملية كاووس صالحا [10]. وبالتالي، إذا تم العثور على قيم كبيرة لـ ISE، فإن تنبؤات أنماذج انحدار عملية كاووس لن تكون دقيقة وبالتالي فإن أنماذج انحدار عملية كاووس لن يكون صالحا. لا تعتمد ISE فقط على الاختلافات بين تنبؤات أنماذج انحدار عملية كاووس والقيم الحقيقية لأنماذج الحاسوبي، ولكنها تعتمد أيضاً على عدم اليقين في تنبؤات أنماذج انحدار عملية كاووس. وذلك لأن الاختلافات بين تنبؤات أنماذج انحدار عملية كاووس والقيم الحقيقية لأنماذج الحاسوبي يتم جعلها معيارية بواسطة الجذر التربيعي لتباين أنماذج انحدار عملية كاووس. تم حساب الأخطاء المعيارية الفردية بحسب المعادلة (17). وبالتالي، فإننا نعتبر مخطط ISE مقابل ترتيب بيانات الاختبار مقاييس لمقارنة أداء أنماذج انحدار عملية كاووس الذي يعتمد على طريقتين مختلفتين لتقدير المعلمات. حيث يوضح الشكل (1) قيم ISE مقابل ترتيب بيانات الاختبار لأنماذج انحدار عملية كاووس الذي يعتمد على طريقة MLE وأنماذج انحدار عملية كاووس الذي يعتمد على طريقة RMLE مع 40 نقطة التصميم و24 نقطة اختبار.



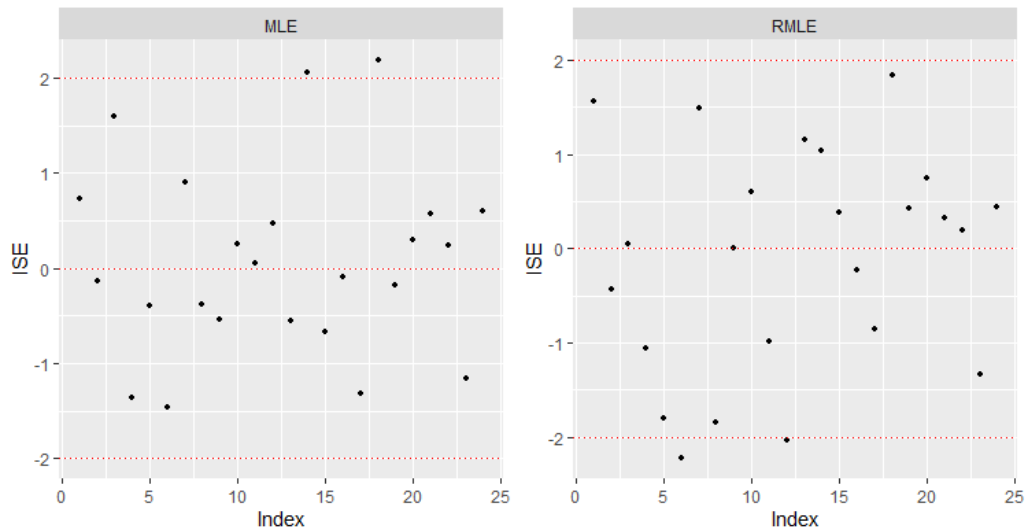
**الشكل (1):** الأخطاء المعيارية الفردية مقابل ترتيب بيانات الاختبار لـ 40 نقطة تصميم.

يُظهر الشكل (1) ان هناك قسمًا من الأخطاء تقع خارج الفترة [−2, 2] بالنسبة للطريقتين وهناك قيم منها متطرفة مما يشير الى وجود تعارض بين الأنماذج الحاسوبي وأنماذج عملية كاووس. وقمنا أيضًا بزيادة الحجم المحدد لنقطات التصميم ليصبح 60 وتم تكرار العمليات مرة أخرى. يوضح الشكل (2) مخططات ISE لأنماذج انحدار عملية كاووس الذي يعتمد على طريقة MLE ولأنماذج انحدار عملية كاووس الذي يعتمد على طريقة RMLE مع 60 نقطة تصميم ومجموعة من 24 نقطة اختبار.



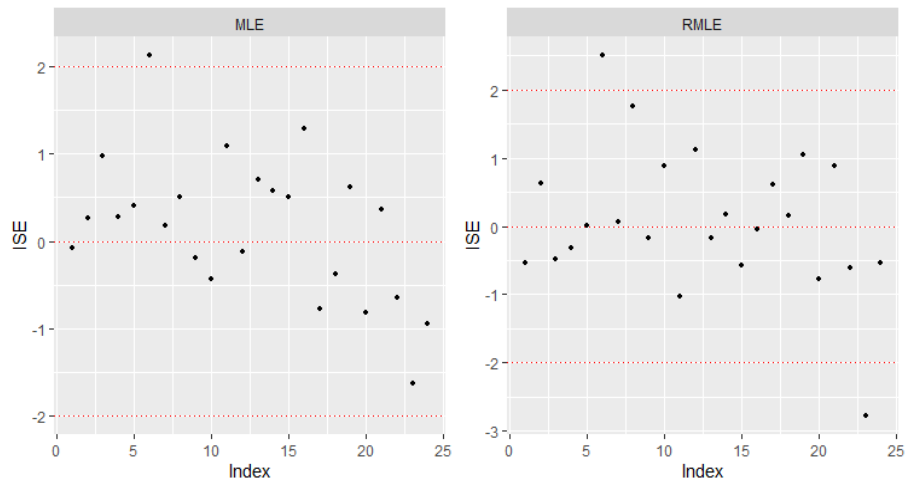
الشكل (2): الأخطاء المعيارية الفردية مقابل ترتيب بيانات الاختبار لـ 60 نقطة تصميم.

نلاحظ من الشكل (2) لأنماذج انحدار عملية كاووس الذي يعتمد على طريقة MLE، أن غالبية ISE صغيرة وأن هناك خطأ واحدًا فقط يقع خارج الحدود، ولكنه بعيد من الحدود. بينما لأنماذج انحدار عملية كاووس الذي يعتمد على طريقة RMLE يُظهر ان هناك خطأ واحدًا فقط يقع خارج الحدود ولكنه قريب منها. تم زيادة الحجم المحدد لنقطات التصميم ليصبح 80 وتم تكرار العمليات مرة أخرى. يوضح الشكل (3) مخططات ISE لأنماذج انحدار عملية كاووس الذي يعتمد على طريقة MLE ولأنماذج انحدار عملية كاووس الذي يعتمد على طريقة RMLE مع 80 نقطة تصميم ومجموعة من 24 نقطة اختبار.

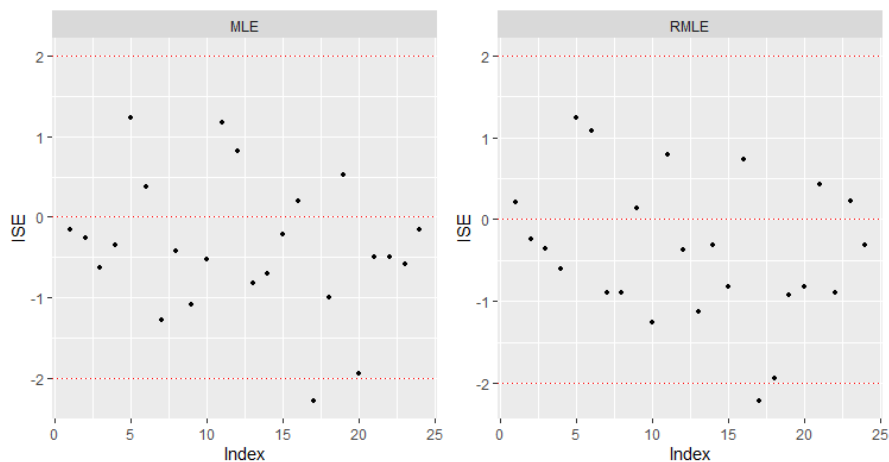


الشكل (3): الأخطاء المعيارية الفردية مقابل ترتيب بيانات الاختبار لـ 80 نقطة تصميم.

من الشكل (3) يمكن ملاحظة ان ISE لأنماذج انحدار عملية كاووس الذي يعتمد على طريقة RMLE وطريقة MLE أصبح الآن صغيرًا مع وجود اثنين فقط من ISE خارج الحدود. ومع ذلك، فإن هذين الخطأين قربان جداً من الحدود. خطوة لاحقة من عملية التحقق تمت الزيادة في عدد نقاط التصميم تدريجياً حيث تم أخذ  $n = 120$  و  $n = 160$  كما هو موضح في الشكل (4) والشكل (5):



الشكل (4): الأخطاء المعيارية الفردية مقابل ترتيب بيانات الاختبار لـ 120 نقطة تصميم.



الشكل (5): الأخطاء المعيارية الفردية مقابل ترتيب بيانات الاختبار لـ 160 نقطة تصميم.

ما تم عرضه في الشكل (4 و 5) تبين أن طريقة MLE تحسن عند زيادة نقاط التصميم حيث يوجد خط واحداً فقط من ISE خارج الحدود. ومع ذلك، فإن هذا الخطأ قريب جداً من الحدود.  
يمكننا أن نستنتج من مخططات ISE أن أنموذج انحدار عملية كلوس الذي يعتمد على طريقة MLE قد لا يعمل بشكل جيد مع عدد صغير من نقاط التصميم. قد يصبح أداء أنموذج انحدار عملية كلوس المعتمد على طريقة MLE جيداً مثل أداء أنموذج انحدار عملية كلوس المعتمد على طريقة RMLE عند استخدام حجماً أكبر من نقاط التصميم.

#### 7. الاستنتاجات

في هذا البحث، تم تقديم طريقة إحصائية شائعة، تسمى أنموذج انحدار عملية كلوس، لتقرير وتحليل النماذج الحاسوبية المعقّدة. حيث قمنا بمقارنة أداء أنموذج انحدار عملية كلوس لدالة البير والتتحقق فيها بدقة باستخدام الطرق المختلفة لتقدير المعلمات، طريقة MLE وطريقة RMLE. حيث يعد تقدير قيم هذه المعلمات هي الخطوة الرئيسية لتحسين أنموذج انحدار عملية كلوس. قمنا أيضاً بدراسة تأثير عدد نقاط التصميم في اعطاء تقدير مناسب للمعلمات، إذ إن دقة التقدير تعتمد بدرجة كبيرة على أبعاد المدخلات. وقد استنتجنا أن تقدير معلمات أنموذج انحدار عملية كلوس ليس موثقاً للغالية مع مجموعة صغيرة من نقاط التصميم، وعليه يجب أن يكون عدد نقاط التصميم لبناء أنموذج انحدار عملية كلوس على الأقل عشرة اضطرافاً بعد الإدخال لكي تكون التنبؤات باستخدام هذا الأنموذج دقيقة. تم أيضاً استخدام مقاييس مسافة مهالانوبيس ومقاييس الأخطاء المعيارية الفردية للمقارنة بين MLE و RMLE، حيث أظهرت قيم مسافة مهالانوبيس في الجدول (1)، أن طريقة RMLE تعطي تقديرات أفضل وفريدة من القيمة المتوقعة لها، كما أنها تحتاج إلى نقاط تصميم أقل إلى حد ما لتعطي تقديرات جيدة للمعلمات، في حين كانت طريقة MLE تتحسن كلما استخدمنا حجماً أكبر من النقاط. كما تبين من الأخطاء المعيارية الفردية، أن اغلب الأخطاء المعيارية حسب طريقة RMLE كانت ضمن المدى

المطلوب أو قريبة من الحدود، بينما اظهرت الأخطاء أنَّ اداء MLE يصبح مثل اداء RMLE عند زيادة نقاط التصميم. وفقاً للنتائج المذكورة فإن طريقة RMLE استغرقت أقل قدر من الوقت لبناء الأنماذج ومن ثم فإن لدى RMLE أفضل اداء. يمكن ان تساعد طرق اخرى للتحقق مثل (تجزئة كوليسي، تجزئة مصفوفة التباين، رسومات Q-Q،...الخ) في تحسين دقة وكفاءة الطرق الحالية بشكل اكبر خاصة عندما تكون عدد البيانات قليلة. كذلك يمكن استخدام طرق اخرى للتقدير ومقارنتها مع الطرق المذكورة مثل طريقة (خوارزميات MCMC، طريقة المقاطع CV، طريقة المرءات الصغرى,...الخ).

8. شكر وتقدير (Acknowledgements)  
الباحثون ممتنون جدًا لجامعة الموصل/كلية التربية للعلوم الصرفة- قسم الرياضيات على التسهيلات التي قدمتها، والتي ساعدت في تحسين جودة هذا البحث.

## 9. References

- [1] H. Mohammadi, P. Challenor, M. Goodfellow, and D. Williamson, “Emulating computer models with step-discontinuous outputs using gaussian processes,” ArXiv Prepr. ArXiv190302071, 2019.
- [2] J. Sacks, W. J. Welch, T. J. Mitchell, and H. P. Wynn, “Design and Analysis of Computer Experiments,” Stat. Sci., vol. 4, no. 4, pp. 409–435, 1989, doi: 10.1214/ss/1177012413.
- [3] M. C. Kennedy and A. O’Hagan, “Bayesian Calibration of Computer Models,” J. R. Stat. Soc. Ser. B Stat. Methodol., vol. 63, no. 3, pp. 425–464, Sep. 2001, doi: 10.1111/1467-9868.00294.
- [4] J. E. Oakley and A. O’Hagan, “Probabilistic Sensitivity Analysis of Complex Models: A Bayesian Approach,” J. R. Stat. Soc. Ser. B Stat. Methodol., vol. 66, no. 3, pp. 751–769, Aug. 2004, doi: 10.1111/j.1467-9868.2004.05304.x.
- [5] R. Paulo, “Default priors for Gaussian processes,” Ann. Stat., vol. 33, no. 2, pp. 556–582, Apr. 2005, doi: 10.1214/009053604000001264.
- [6] R. B. Christianson, R. M. Polleyea, and R. B. Gramacy, “Traditional kriging versus modern Gaussian processes for large-scale mining data,” Stat. Anal. Data Min. ASA Data Sci. J., vol. 16, no. 5, pp. 488–506, 2023.
- [7] V. Volodina and D. B. Williamson, “Nonstationary Gaussian Process Emulators with Kernel Mixtures,” ArXiv E-Prints, 2018.
- [8] A. Marrel and B. Iooss, “Probabilistic surrogate modeling by Gaussian process: A review on recent insights in estimation and validation,” Reliab. Eng. Syst. Saf., p. 110094, 2024.
- [9] P. D. Hoff, A first course in Bayesian statistical methods, vol. 580. Springer, 2009.
- [10] L. S. Bastos and A. O’hagan, “Diagnostics for gaussian process emulators,” Technometrics, vol. 51, no. 4, pp. 425–438, 2009, doi: 10.1198/TECH.2009.08019.
- [11] J. R. Stroud, M. L. Stein, and S. Lysen, “Bayesian and maximum likelihood estimation for Gaussian processes on an incomplete lattice,” J. Comput. Graph. Stat., vol. 26, no. 1, pp. 108–120, 2017.
- [12] S. Ameli and S. C. Shadden, “Noise estimation in Gaussian process regression,” ArXiv Prepr. ArXiv220609976, 2022.
- [13] C. Lataniotis, S. Marelli, and B. Sudret, “The Gaussian process modelling module in UQLab,” ArXiv Prepr. ArXiv170909382, 2017.
- [14] D. A. HARVILLE, “Bayesian inference for variance components using only error contrasts,” Biometrika, vol. 61, no. 2, pp. 383–385, 1974, doi: 10.1093/biomet/61.2.383.
- [15] M. D. Morris and T. J. Mitchell, “Exploratory designs for computational experiments,” J. Stat. Plan. Inference, vol. 43, no. 3, pp. 381–402, Feb. 1995, doi: 10.1016/0378-3758(94)00035-T.
- [16] B. A. Worley, “Deterministic uncertainty analysis,” Oak Ridge National Lab.(ORNL), Oak Ridge, TN (United States), 1987.
- [17] S. Xiong, P. Z. Qian, and C. J. Wu, “Sequential design and analysis of high-accuracy and low-accuracy computer codes,” Technometrics, vol. 55, no. 1, pp. 37–46, 2013.

## المقارنة بين تقدير معلمات أنموذج انحدار عملية كاوس باستخدام طريقة الإمكان الأعظم والإمكان المقييد

امنة خالد الياس خضر<sup>(1)</sup> يونس حازم الطويل<sup>(2)</sup>

2.1. الرياضيات، كلية التربية للعلوم الصرفة، جامعة الموصل، الموصل، العراق

### المستخلص:

تُستخدم نماذج انحدار العملية الكاوسية كتمثيلات إحصائية بديلة للنماذج الحاسوبية المعقدة والمكلفة من الناحية الحسابية، نظراً لمرورتها في التقاط شكل الدوال الملمس. إنَّ أنموذج انحدار العملية الكاوسية له عدد من المعلمات غير المعلومة بشكل عام، والتي يُعد تقديرها خطوة أساسية نحو بناء الأنماذج. المعلمات التي يتم النظر فيها هي معاملات الانحدار  $\beta$ ، ومعلمة القياس  $s^2$  ومعلمات الارتباط  $b_i$ . إنَّ تقدير هذه المعلمات هي المشكلة التي تناولناها في هذا البحث. المساعدة الرئيسية لهذا العمل هو التقييم والمقارنة بين تقدير معلمات أنموذج انحدار عملية كاوس باستخدام طريقة الإمكان الأعظم وطريقة الإمكان المقييد، هذه المقارنة تمت بالاعتماد على بعض مقاييس التحقق من الصحة. نبحث بعد ذلك عن تأثير عدد نقاط التصميم على تقديرها. تم تطبيق أنموذج انحدار عملية كاوس والذي تم تقدير معلماته بالطريقتين أعلاه على مثل حقيقي ذي ثمان أبعاد متمثل بـأنموذج دالة البئر، وتم تنفيذ العمليات الحسابية والبيانية كافة باستخدام برنامج (R).